

ЧИСЛОВИЙ МЕТОД КВАЗИКОНФОРМНИХ ВІДОБРАЖЕНЬ ДОСЛІДЖЕННЯ ДВОФАЗНОЇ ФІЛЬТРАЦІЇ В ЕЛЕМЕНТАХ ПЛОЩОВОГО ЗАВОДНЕННЯ

А.Я.Бомба, С.В.Яроцак

Рівненський державний гуманітарний університет, м. Рівне, вул. Остафова 31,
тел. (096)5714253, e-mail: a b o m b a @ u k r . n e t , y a r o s c h a k @ m a i l . r u

На основі ідей методів квазиконформних відображень та поетапної фіксації характеристик процесу і середовища побудовано алгоритм числового розв'язання модельних задач двофазної фільтрації типу Бакля-Левеетта в елементах площового заводнення, що дає змогу передбачити характеристик пластової системи за різних умов впливу на неї та вивчити особливості фільтрації в привибійних зонах свердловин.

Ключові слова: двофазна фільтрація, площове заводнення, квазиконформні відображення

По идеям методов квазиконформных отображений и поэтапной фиксации характеристик процесса и среды построен алгоритм числового решения модельных задач двухфазной фильтрации типа Бакля-Левеетта в элементах площадного заводнения, что позволяет предусмотреть характеристик пластовой системы в различных условиях влияния на нее и изучить особенности фильтрации в привибийных зонах скважин.

Ключевые слова: двухфазная фильтрация, площадное заводнение, квазиконформные отображения

Based on the ideas of the methods of quasiconformal mappings and a phased commit process characteristics and environment of an algorithm of numerical solutions of problems of two-phase filtration type Buckley-Leverett in the elements of areal flooding, which allows to provide the characteristics of reservoir system under conditions of impact on her and filtering features in bottom-hole zones of wells

Keywords: two-phase filtering, pattern flooding, quasiconformal mappings

На сьогоднішній день накопичено великий досвід застосування інтенсивних систем розробки нафтових родовищ. Серед них однією із ефективних є площове заводнення, при якому експлуатаційні та нагнітальні свердловини розташовуються певним регулярним чином в межах розроблюваних площ [1].

У даній роботі на основі ідей методів квазиконформних відображень та поетапної фіксації характеристики процесу і середовища [3–5] побудовано алгоритм числового розв'язання модельних задач двофазної фільтрації типу Бакля-Левеетта, що дає змогу передбачити характеристик пластової системи для різних умов впливу на неї та вивчити особливості фільтрації в привибійних зонах свердловин.

Розглянемо процес двофазної ізотермічної фільтрації рідин (води, нафти) в'язкості μ_1 , μ_2 в елементі симетрії лінійної системи з шаховим розміщенням свердловин (рис. 1).

Відповідні закон руху та рівняння нерозривності течії, записані відносно квазіпотенціалу швидкості $\varphi = \varphi(x, y, t) = -p(x, y, t) + \tilde{p}$ ($p(x, y, t)$ – тиск, \tilde{p} – деяке характерне його значення) та насиченості водою $s = s(x, y, t)$, згідно з [6–8] представимо у вигляді:

$$\vec{v}_1 = \frac{k\tilde{k}_1}{\mu_1} \text{grad}\varphi, \quad \vec{v}_2 = \frac{k\tilde{k}_2}{\mu_2} \text{grad}\varphi,$$

$$\sigma \frac{\partial(1-s)}{\partial t} + \text{div}\vec{v}_1 = 0, \quad \sigma \frac{\partial s}{\partial t} + \text{div}\vec{v}_2 = 0,$$

де: \vec{v}_1 , \vec{v}_2 – вектори швидкості,
 σ – пористість, t – час,

$\tilde{k}_1 = (1-s)^2$, $\tilde{k}_2 = s^2$ – відносні фазові провідності, k – абсолютна провідність ґрунту.

Звідси, з урахуванням сумарної швидкості $\vec{v} = \vec{v}_1 + \vec{v}_2$ фільтраційної течії та початкових і граничних умов, маємо:

$$\text{div}\vec{v} = 0, \quad \vec{v} = \bar{k} \cdot \text{grad}\varphi, \quad \sigma \frac{\partial s}{\partial t} + v_x \frac{\partial f}{\partial x} + v_y \frac{\partial f}{\partial y} = 0,$$

$$\varphi|_{L^*} = \varphi^*, \quad \varphi|_{L^*} = \varphi^*, \quad \frac{\partial \varphi}{\partial n}|_{L_0} = \frac{\partial \varphi}{\partial n}|_{L^0} = 0, \quad s|_{L^*} = s^*, \quad (1)$$

$$s(x, y, t)|_{t=0} = \tilde{s}(x, y), \quad \varphi(x, y, t)|_{t=0} = \tilde{\varphi}(x, y),$$

де: $L^* = \{z : x = r \cos(\tau), y = r \sin(\tau)\}$,

$$3\pi/4 \leq \tau \leq 2\pi = \{z : f_*(x, y) = 0\},$$

$$L^* = \{z : x = r \cos(\tau) + a, y = r \sin(\tau) + b\},$$

$$\pi/2 \leq \tau \leq \pi = \{z : f^*(x, y) = 0\},$$

$$L_0 = AN \cup ND = \{z : f_0(x, y) = 0\},$$

$$L^0 = BM \cup MC = \{z : f^0(x, y) = 0\},$$

$$AN = \{z : x = 0, -r \leq y \leq -b\},$$

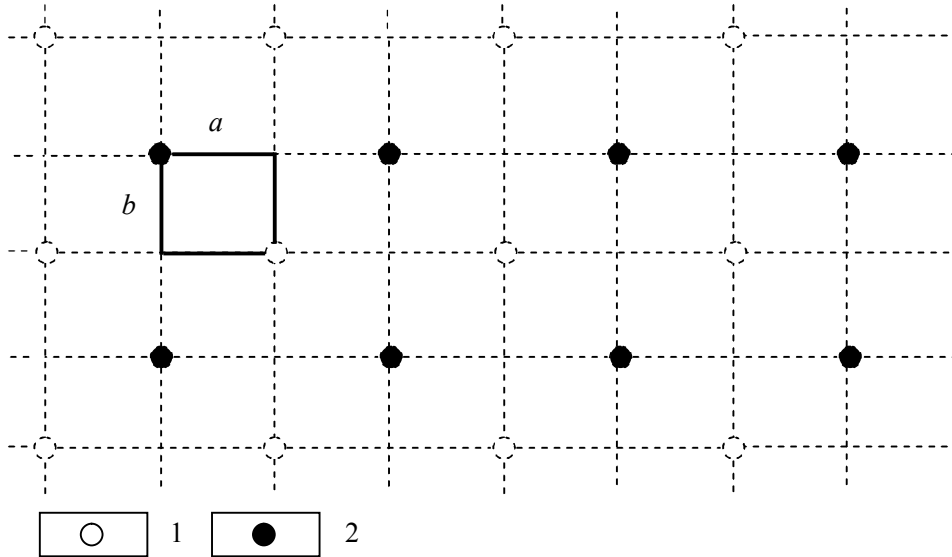
$$ND = \{z : y = -b, 0 \leq x \leq a - r\},$$

$$BM = \{z : y = 0, r \leq x \leq a\},$$

$$MC = \{z : x = a, 0 \leq y \leq -b + r\},$$

$$\bar{k}(s) = \frac{k\tilde{k}_1(s)}{\mu_1} + \frac{k\tilde{k}_2(s)}{\mu_2},$$

$$f(s) = \frac{\mu_1 \tilde{k}_2(s)}{\mu_2 \tilde{k}_1(s) + \mu_1 \tilde{k}_2(s)},$$



1 – експлуатаційна свердловина, 2 – нагнітальна свердловина, a, b – розміри елемента симетрії
Рисунок 1 – Лінійна система з шаховим розміщенням свердловин

$\tilde{s}(x, y), \tilde{\varphi}(x, y)$ – задані, достатньо гладкі функції такі, що: $\tilde{s}|_{L^*} = s^*, \tilde{\varphi}|_{L^*} = \varphi^*, \tilde{\varphi}|_{L^*} = \varphi^*$,

$$\left. \frac{\partial \tilde{\varphi}}{\partial n} \right|_{L_0} = \left. \frac{\partial \tilde{\varphi}}{\partial n} \right|_{L^0} = 0.$$

Аналогічно до [3], ввівши функцію течії ψ (квазікомплексно спряжену до φ) приходимо до задачі на квазіконформне відображення $\omega = \omega(z) = \varphi(x, y) + i\psi(x, y)$ [5] однозв’язної області $G_z = L_* \cup L_0 \cup L^* \cup L^0$ на відповідну прямокутну область комплексного квазіпотенціалу $G_\omega = \{\omega = \varphi + i\psi : \varphi_* < \varphi < \varphi^*, 0 < \psi < Q\}$ з невідомою витратою Q :

$$\bar{k} \frac{\partial \varphi}{\partial x} = \frac{\partial \psi}{\partial y}, \bar{k} \frac{\partial \varphi}{\partial y} = -\frac{\partial \psi}{\partial x}, (x, y) \in G_z^0,$$

$$\varphi|_{L^*} = \varphi^*, \varphi|_{L^*} = \varphi^*, \psi|_{AD} = 0, \psi|_{BC} = Q, \quad (2)$$

$$\varphi(x, y, t)|_{t=0} = \tilde{\varphi}(x, y),$$

$$\frac{\partial s}{\partial t} = -\frac{\bar{k}}{\sigma} \frac{\partial f}{\partial s} \left(\frac{\partial \varphi}{\partial x} \frac{\partial s}{\partial x} + \frac{\partial \varphi}{\partial y} \frac{\partial s}{\partial y} \right),$$

$$s|_{L^*} = s^*, s(x, y, t)|_{t=0} = \tilde{s}(x, y), \quad (3)$$

де:

$$Q = \iint_{L_*} -v_y dx + v_x dy,$$

$$v(x, y) = \sqrt{v_x^2(x, y) + v_y^2(x, y)}.$$

Обернена до (2) крайова задача на квазіконформне відображення $z = z(\omega) = x(\varphi, \psi) + iy(\varphi, \psi)$ області G_ω на G_z та рівняння для дійсної $x = x(\varphi, \psi)$ і уявної $y = y(\varphi, \psi)$ частини характеристичної функції течії запишеться у вигляді:

$$\bar{k} \frac{\partial y}{\partial \psi} = \frac{\partial x}{\partial \varphi}, \bar{k} \frac{\partial x}{\partial \psi} = -\frac{\partial y}{\partial \varphi}, (\varphi, \psi) \in G_\omega, \quad (4)$$

$$f_*(x(\varphi_*, \psi), y(\varphi_*, \psi)) = 0, 0 \leq \psi \leq Q,$$

$$f^*(x(\varphi^*, \psi), y(\varphi^*, \psi)) = 0, \varphi_* \leq \varphi \leq \varphi^*, \quad (5)$$

$$f(x(\varphi, 0), y(\varphi, 0)) = 0, f(x(\varphi, Q), y(\varphi, Q)) = 0,$$

$$\varphi(x(\varphi, \psi), y(\varphi, \psi), t)|_{t=0} = \tilde{\varphi}(x(\varphi, \psi), y(\varphi, \psi)),$$

$$0 \leq \psi \leq Q, \varphi_* < \varphi \leq \varphi^*,$$

$$\frac{\partial}{\partial \psi} \left(\bar{k} \frac{\partial x}{\partial \psi} \right) + \frac{\partial}{\partial \varphi} \left(\frac{1}{\bar{k}} \frac{\partial x}{\partial \varphi} \right) = 0,$$

$$\frac{\partial}{\partial \psi} \left(\bar{k} \frac{\partial y}{\partial \psi} \right) + \frac{\partial}{\partial \varphi} \left(\frac{1}{\bar{k}} \frac{\partial y}{\partial \varphi} \right) = 0. \quad (6)$$

Використавши відповідні формули переходу

$$J = \frac{\partial x}{\partial \varphi} \frac{\partial y}{\partial \psi} - \frac{\partial x}{\partial \psi} \frac{\partial y}{\partial \varphi}, \frac{\partial}{\partial x} = \frac{1}{J} \frac{\partial y}{\partial \psi} \frac{\partial}{\partial \varphi} - \frac{1}{J} \frac{\partial y}{\partial \varphi} \frac{\partial}{\partial \psi},$$

$$\frac{\partial}{\partial y} = -\frac{1}{J} \frac{\partial x}{\partial \psi} \frac{\partial}{\partial \varphi} + \frac{1}{J} \frac{\partial x}{\partial \varphi} \frac{\partial}{\partial \psi}, \frac{\partial \varphi}{\partial x} = \frac{1}{J} \frac{\partial y}{\partial \psi},$$

$$\frac{\partial \varphi}{\partial y} = -\frac{1}{J} \frac{\partial x}{\partial \psi}, \frac{\partial \psi}{\partial x} = -\frac{1}{J} \frac{\partial y}{\partial \varphi}, \frac{\partial \psi}{\partial y} = \frac{1}{J} \frac{\partial x}{\partial \varphi},$$

умови (4) та формули для обчислення компонент сумарної швидкості $v_x = \frac{\bar{k}}{J(\varphi, \psi)} \frac{\partial y}{\partial \psi},$

$v_y = -\frac{\bar{k}}{J(\varphi, \psi)} \frac{\partial x}{\partial \psi},$ задачу для насиченості (3) перепишемо так:

$$\frac{\partial s}{\partial t} = -\frac{v^2}{\sigma \bar{k}} \frac{\partial f}{\partial s} \frac{\partial s}{\partial \varphi}, \quad (7)$$

$$s(x(\varphi_*, \psi), y(\varphi_*, \psi), t) = s^*,$$

$$s(x(\varphi, \psi), y(\varphi, \psi), 0) = \tilde{s}(x(\varphi, \psi), y(\varphi, \psi)), \quad (8)$$

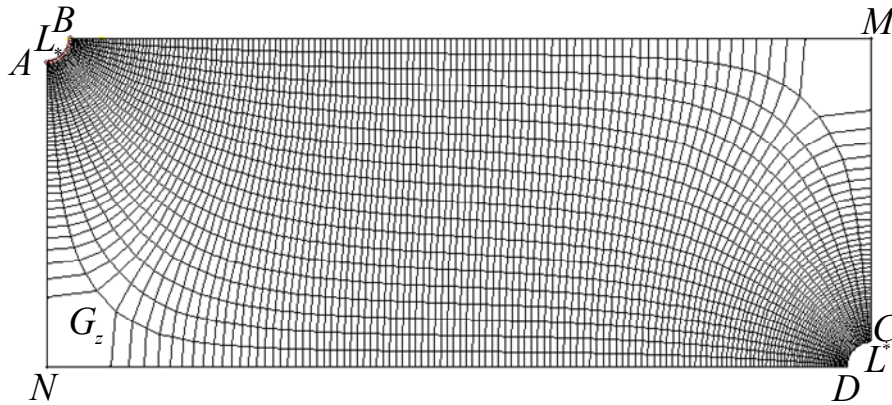


Рисунок 2 – Елемент симетрії з побудованою гідродинамічною сіткою

де рівняння (7) є фактично просторово одновимірним (адже змінні t та ψ тут фігурують як параметри). Останнє дозволяє суттєво спростити загальну стратегію (розщепити алгоритм) розв’язання вихідної задачі, а саме: а) за відомим з попереднього часового кроку ітерації розподілом насиченості s розв’язуємо на наступному кроці задачу на квазіконформне відображення (4) – (6) (зокрема, будемо динамічну сітку, знаходимо квазіпотенціал φ , витрату та інші невідомі фільтраційні параметри); б) за знайденим розподілом квазіпотенціалу і крайовим умовам для насиченості та розподілу s з попереднього кроку ітерації знаходимо розподіл насиченості на наступному кроці розв’язуючи (7) – (8); в) перевіряємо умову зупинки алгоритму (однією із таких умов може бути умова перевищення допустимої частки витіснюючої рідини в продукції експлуатаційної свердловини), у разі невиконання якої переходимо до пункту а) алгоритму.

Для розв’язання задачі (4) – (6) використовуємо розроблений нами (наприклад, [3]) алгоритм побудови гідродинамічних сіток.

Підкреслимо, що запропонований нами підхід введення спеціального типу фіктивного комплексного квазіпотенціалу (для далеко не квазіпотенціальних фізичних полів) з наступним використанням ідей методу квазіконформних відображень та процедури поетапного «замороження» (фіксації) різних характеристик середовища та процесу дає змогу вихідну нелінійну задачу розщепити на послідовність простіших: крайових задач на квазіконформні відображення та нелінійних задач для просторово одновимірних диференціальних рівнянь в частинних похідних першого порядку з параметрами тощо.

Рівняння (7) апроксимуємо різницевою схемою «проти течії» [6]. Таким чином,

$$\begin{aligned} \xi_{i,j} &= s_{i,j} - \frac{\tau v_{i,j}^2}{\sigma k_{i,j} \Delta \varphi_l} f'(s_{i-1/2,j})(s_{i,j} - s_{i-1,j}), \\ s_{i-1/2,j} &= \frac{s_{i,j} + s_{i-1,j}}{2}, j = \overline{1, m}, i = \overline{1, n_1}, l = 1, \\ i &= \overline{n_1 + 1, n_1 + n_2}, l = 2, i = \overline{n_1 + n_2 + 1, n - 1}, l = 3, \end{aligned} \quad (9)$$

де: τ – крок за часом, $s_{i,j}$, $\xi_{i,j}$ – насиченості у відповідних вузлах (i, j) на попередньому та наступному кроці ітерації за часом. Формули для розрахунку швидкості записуються аналогічно, як і в роботі [3], а граничну умову для насиченості – $s_{0,j} = s_*, j = \overline{1, m}$.

На рис. 2 в елементі симетрії зображено гідродинамічну сітку при $t = 0$, $a = 5$, $b = 2$, $r = 0.3$, $n \times m = 180 \times 20$, $\varphi_* = 0$, $\varphi^* = 1$, $k = 1$, $\sigma = 0.5$, $\mu_1 = 2$, $\mu_2 = 1$, $s_* = 1$, $\bar{s}(x, y) = 0$, $\tau = 0.0001$.

Рисунки 3-4 відображають розподіл насиченості та сумарної швидкості у момент часу $t = 0.102 \cdot 10^{-2}$.

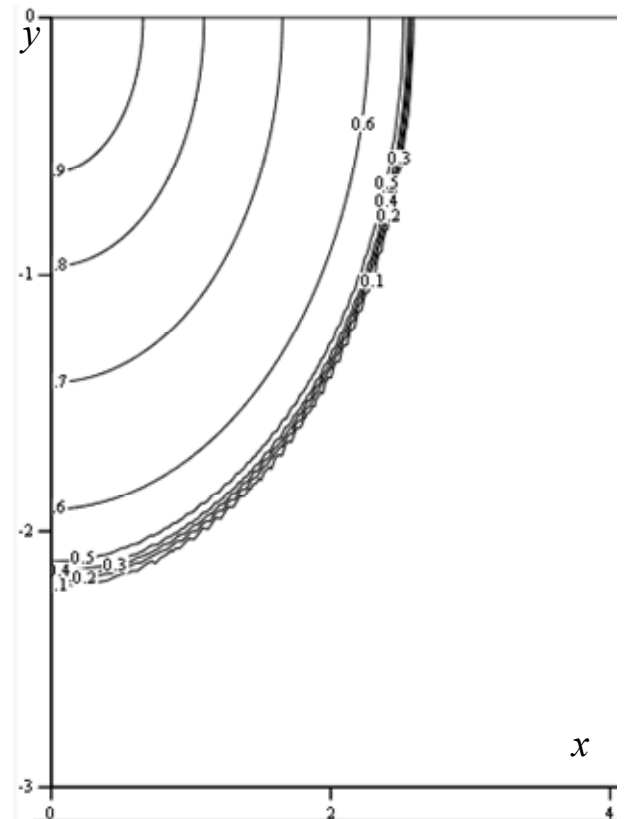


Рисунок 3 – Поле насиченості

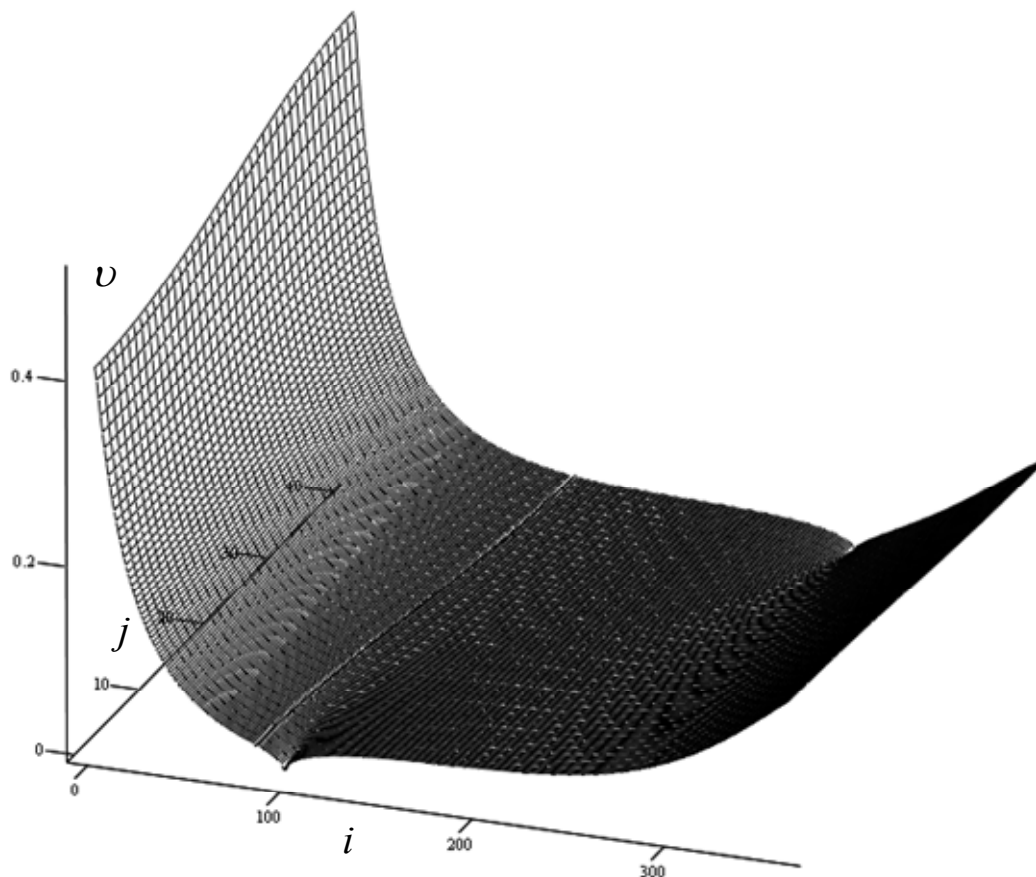


Рисунок 4 – Поле сумарної швидкості

Залежність сумарної фільтраційної витрати $Q = Q(t)$ від часу представлено на рис. 5. Як і слід було очікувати, на початку періоду нагнітання води в пласт (див. рис. 5а, часовий інтервал $(0, t_*)$) витрата зростає (це природно, оскільки «загальний опір» пласта зменшується). При подальшому нагнітанні води в пласт (див. інтервал часу (t_*, t^*)) витрата Q спадає до деякого свого мінімального значення $Q^* = Q(t^*)$, що пояснюється утворенням зони $G_z^* = \{z: 0 < s < 0.7 = \bar{k}^{-1}(0.5)\} \in G_z$, де \bar{k}^{-1} – функція обернена до $\bar{k}(s)$, в якій $\bar{k}(s) < \bar{k}(0) = 0.5$. Зі збільшенням часу ($t^* < t < t_0$) площа ділянки, де коефіцієнт $\bar{k}(s) > 0.5$, збільшується, що призводить до зменшення загального опору пласта і, отже, до зростання витрати. На інтервалі часу (t_0, t^0) (рис. 5б) проявляється вплив застійної зони (окол точки M), що призводить до спаду витрати. Після проривання води в експлуатаційну свердловину витрата починає стрімко зростати. Розраховані характерні моменти часу, а саме: $t_* = 0.06 \cdot 10^{-2}$, $t^* = 0.45 \cdot 10^{-2}$, $t_0 = 1.52$, $t^0 = 1.65$.

Література

- 1 Фазлыев Р. Т. Площадное заводнение нефтяных месторождений / Р. Т. Фазлыев. – М.: Ижевск, ИКИ, НИЦ РХД, 2008. – 256 с.
- 2 Крылов А. П. Основные принципы разработки нефтяных залежей с применением нагнетания рабочего агента в пласт / А. П. Крылов // Труды МНИ. – 1953. – Вып. 12. – С. 109–116.
- 3 Бомба А. Я. Метод конформних відображень математичного моделювання процесів витіснення у нафтогазових пластах: прогнозування динаміки руху лінії розділу різнокольорових рідин / А. Я. Бомба, С. В. Ярошак // Волинський математичний вісник. – 2009. – Вып. 6 (15). – С. 20–35. – Серія прикладна математика.
- 4 Бомба А. Я. Крайові задачі на конформні відображення для тризв'язних областей з потенціалом керування / А. Я. Бомба, Д. О. Пригорницький // Доповіді НАН України. – 2004. – №4 – С. 57–63.
- 5 Бомба А. Я. Нелінійні математичні моделі процесів геогідродинаміки / А. Я. Бомба, В. М. Булавацький, В. В. Скопецький. – К.: Наукова думка, 2007. – 308 с.

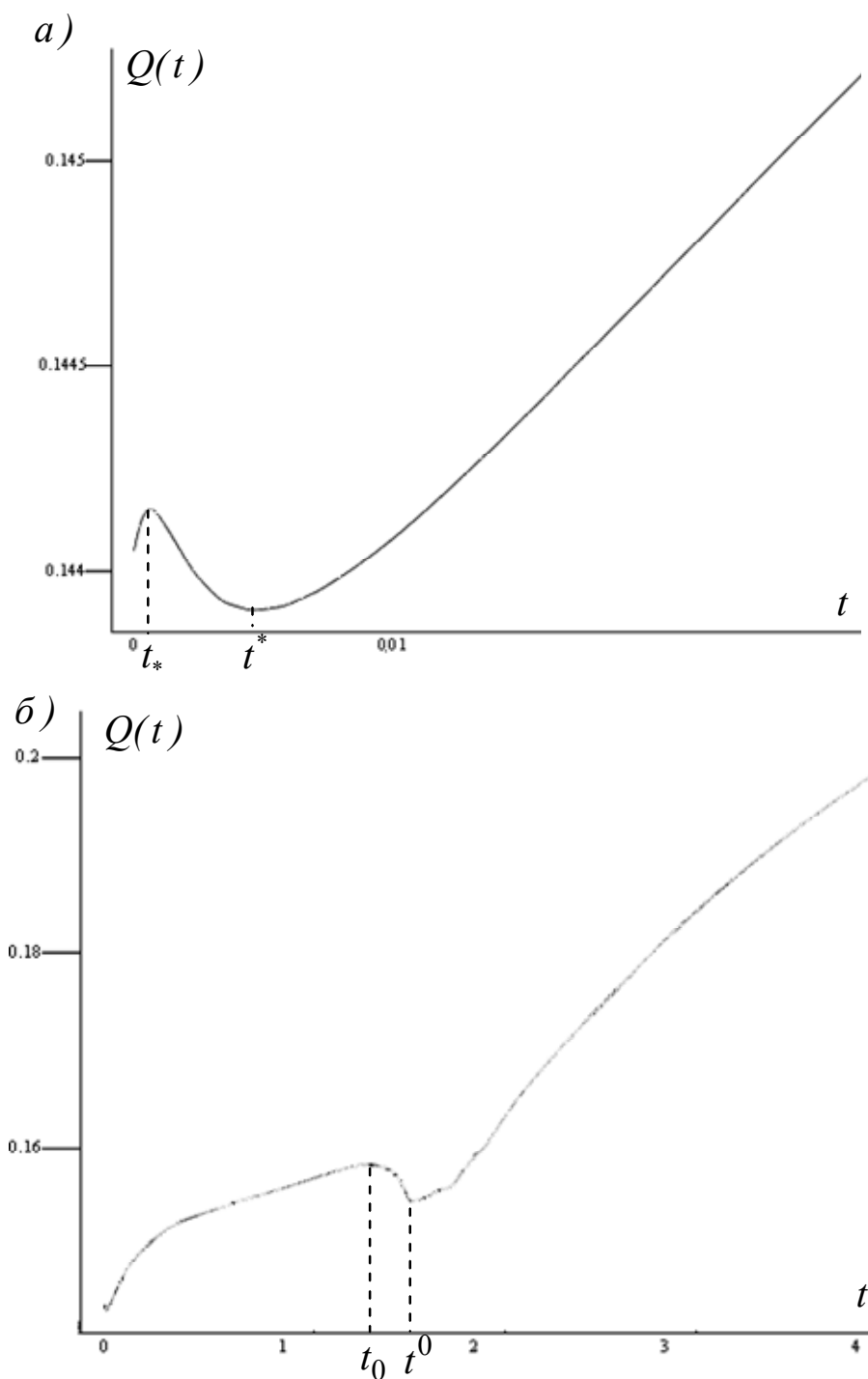


Рисунок 5 – Залежність сумарної фільтраційної витрати від часу

6 Каневская Р. Д. Математическое моделирование гидродинамических процессов разработки месторождений углеводородов / Р. Д. Каневская. – Москва-Ижевск : Институт компьютерных исследований, 2002. – 140 с.

7 Zhangxin C. Computational Methods for Multiphase Flows in Porous Media (Computational Science and Engineering) / C. Zhangxin, H. Guanren, M. Yuanle. Paperback. Society for Industrial and Applied Mathematics, 2006. - 531 pp.

8 Versteeg H. K. An introduction to computational fluid dynamics. The finite volume method / H. K. Versteeg, W. Malalasekera. – Longman Scientific & Technical. New York, 1995. – 267 с.

Стаття надійшла до редакційної колегії
23.01.10

Рекомендована до друку професором
Мойсишиним В.М.